### **Exercice 1**: moments d'inertie et matrices d'inertie élémentaires

Q1: 
$$I(0,\vec{z}) = m\frac{R^2}{2}$$
  
Q2:  $I(0) = \frac{3}{5}m\frac{R^2}{2}$  et  $I(0,\vec{z}) = \frac{2}{5}m\frac{R^2}{2}$   
Q3: 
$$\begin{pmatrix} m(\frac{R^2}{4} + \frac{h^2}{12}) & 0 & 0 \\ 0 & m(\frac{R^2}{4} + \frac{h^2}{12}) & 0 \\ 0 & 0 & m\frac{R^2}{2} \end{pmatrix}$$
Q4: 
$$\begin{pmatrix} \frac{m}{12}(b^2 + c^2) & 0 & 0 \\ 0 & \frac{m}{12}(a^2 + c^2) & 0 \\ 0 & 0 & \frac{m}{12}(a^2 + b^2) \end{pmatrix}_{x,y,z}$$

# **Exercice 2**: matrice d'inertie d'un vilebrequin

$$\begin{aligned} \mathbf{Q1} : & I(G_1, \vec{z}) = m_1 \frac{R_1^2}{2} + m_2 \frac{R_2^2}{2} + m_2 \frac{a_2^2}{2} + m_3 \frac{R_3^2}{2} + m_3 \frac{a_3^2}{2} \\ \mathbf{Q2} : & I(G_1) = \begin{bmatrix} A & 0 & -E \\ 0 & B & 0 \\ -E & 0 & I(G_1, \vec{z}) \end{bmatrix} \\ & avec \ A = m_1 \left( \frac{R_1^2}{4} + \frac{h_1^2}{12} \right) + m_2 \left( \frac{R_2^2}{4} + \frac{h_2^2}{12} \right) + m_2 \frac{c_2^2}{2} + m_3 \left( \frac{R_3^2}{4} + \frac{h_3^2}{12} \right) + m_3 \frac{c_3^2}{2} \\ & et \ B = m_1 \left( \frac{R_1^2}{4} + \frac{h_1^2}{12} \right) + m_2 \left( \frac{R_2^2}{4} + \frac{h_2^2}{12} \right) + m_2 \left( \frac{a_2^2}{2} + \frac{c_2^2}{2} \right) + m_3 \left( \frac{R_3^2}{4} + \frac{h_3^2}{12} \right) + m_3 \left( \frac{a_3^2}{2} + \frac{c_3^2}{2} \right) \\ & et \ E = m_2 a_2 c_2 + m_3 a_3 c_3 \end{aligned}$$

# **Exercice 3**: inertie du robot de chirurgie mini-invasive (extrait E3a MP 2019)

Q1: Le modèle géométrique présentée fait apparaître un plan de symétrie : Le plan  $(\mathbf{0}_1; \overline{\mathbf{z}_1}, \overline{\mathbf{x}_1})$ . Les produits d'inertie  $-D = \iint y \cdot z \cdot dm$  et  $-F = \iint x \cdot y \cdot dm$  sont donc nuls.

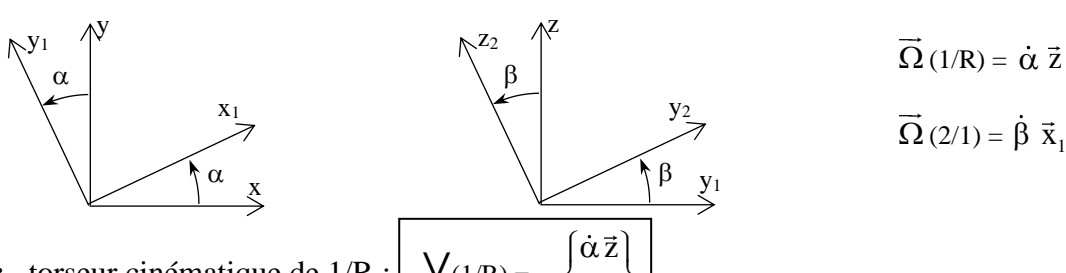
Q2: Juste une lecture de la matrice :  $J_1 = 8400 \text{ kg.mm}^2$ 

 $\mathbf{Q3}$ : Les dimensions du moteur sont petites devant la distance du centre de masse  $\mathbf{\textit{G}}_{M2}$  à l'axe de rotation.

Q4:  $J_{M2} = m_{M2} \cdot x_{1M2}^2 = 0, 6 \times (211)^2 = 26700 \ kg \cdot mm^2$ 

Inertie mini : F **Q5**: Inertie max : A

# **Exercice 4**: calculs d'éléments dynamiques d'une éolienne domestique



Q1: torseur cinématique de 1/R:  $V_{(1/R)} = \begin{cases} \dot{\alpha} \vec{z} \\ \vec{0} \end{cases}$  torseur cinématique de 2+3/R:  $V_{(2+3/R)} = \begin{cases} \vec{\Omega}(2/R) = \vec{\Omega}(3/R) \\ \vec{V}(P \in 2/R) = \vec{V}(P \in 3/R) \end{cases}$ 

 $\overrightarrow{\Omega}\left(2/R\right) = \overrightarrow{\Omega}(2/1) + \overrightarrow{\Omega}(1/R) = \dot{\beta} \ \vec{x}_1 + \dot{\alpha} \ \vec{z}$ 

$$\begin{split} & \overrightarrow{V}\left(P \in 2/R\right) = \left[\frac{d\overrightarrow{OP}}{dt}\right]_R = \left[\frac{d(a\vec{x}_1 + b\vec{z}_2)}{dt}\right]_R \quad avec \\ & \left[\frac{d\vec{z}_2}{dt}\right]_R = \left[\frac{d\vec{z}_2}{dt}\right]_{R_2} + \overrightarrow{\Omega}\left(2/R\right) \wedge \vec{z}_2 = (\dot{\beta} \ \vec{x}_1 + \dot{\alpha} \ \vec{z} \ ) \wedge \vec{z}_2 \\ & soit \\ & \left[V(2+3/R) = \left\{\begin{matrix} \dot{\alpha} \ \vec{z} + \dot{\beta} \ \vec{x}_1 \\ a \ \dot{\alpha} \ \vec{y}_1 + b \ \dot{\alpha} \sin \beta \ \vec{x}_1 - b \ \dot{\beta} \ \vec{y}_2 \end{matrix}\right\} \end{split}$$

Lvcée Claude Fauriel Page 1 sur 12

$$\mathbf{Q2:} \quad \vec{\sigma}_{O}\left(1/R\right) = \mathbb{I}_{O}(1) \cdot \overrightarrow{\Omega}\left(1/R\right) \quad avec \quad \mathbb{I}_{O}(1) = \begin{pmatrix} A_{1} & 0 & -E_{1} \\ 0 & B_{1} & 0 \\ -E_{1} & 0 & I \end{pmatrix}_{R_{1}} \quad soit \quad \vec{\sigma}_{O}\left(1/R\right) = \dot{\alpha}\left(-E_{1}\vec{x}_{1} + I\vec{z}\right)$$

 $\vec{\sigma}_{O}(1/R)$ .  $\vec{z} = I \dot{\alpha}$ donc

$$\mathbf{Q3:} \quad \mathbf{C}(2/R) = \begin{cases} \mathbf{M} \, \overrightarrow{\mathbf{V}}(\mathbf{G} \in 2/R) \\ \vec{\sigma}_{\mathbf{O}}(2/R) \end{cases} \quad \text{avec} \quad \overrightarrow{\mathbf{V}}(\mathbf{G} \in 2/R) = \begin{bmatrix} \mathbf{d} \, \overrightarrow{\mathbf{OG}} \\ \mathbf{dt} \end{bmatrix}_{R} = \begin{bmatrix} \mathbf{d}(\mathbf{a} \, \overrightarrow{\mathbf{x}}_{1}) \\ \mathbf{dt} \end{bmatrix}_{R} = \mathbf{a} \, \dot{\alpha} \, \overrightarrow{\mathbf{y}}_{1}$$

$$\vec{\sigma}_{\mathbf{O}}(2/R) = \vec{\sigma}_{\mathbf{G}}(2/R) + \overrightarrow{\mathbf{OG}} \wedge \mathbf{M} \, \overrightarrow{\mathbf{V}}(\mathbf{G} \in 2/R) = \mathbf{I}_{\mathbf{G}}(2) \cdot \overrightarrow{\mathbf{\Omega}}(2/R) + \mathbf{a} \, \overrightarrow{\mathbf{x}}_{1} \wedge \mathbf{M} \, \mathbf{a} \, \dot{\alpha} \, \overrightarrow{\mathbf{y}}_{1}$$

La matrice de **2** étant exprimée dans la base  $R_2$ , on doit projeter  $\overline{\Omega}(2/R)$  sur cette même base :

$$\dot{\beta} \ \vec{x}_1 + \dot{\alpha} \ \vec{z} = \dot{\beta} \ \vec{x}_2 + \dot{\alpha} (\sin\beta \ \vec{y}_2 + \cos\beta \ \vec{z}_2)$$

$$\vec{\sigma}_{G}(2/R) = \begin{pmatrix} A & 0 & 0 \\ 0 & B & 0 \\ 0 & 0 & C \end{pmatrix}_{R_{2}} \cdot \begin{pmatrix} \dot{\beta} \\ \dot{\alpha} \sin \beta \\ \dot{\alpha} \cos \beta \end{pmatrix}_{R_{2}} = A \dot{\beta} \vec{x}_{2} + \dot{\alpha} (B \sin \beta \vec{y}_{2} + C \cos \beta \vec{z}_{2})$$

$$d'où C(2/R) = \begin{cases} M a \dot{\alpha} \vec{y}_{1} \\ M a^{2} \dot{\alpha} \vec{z} + A \dot{\beta} \vec{x}_{1} + B \dot{\alpha} \sin \beta \vec{y}_{2} + C \dot{\alpha} \cos \beta \vec{z}_{2} \end{cases}$$

$$d'où C_{(2/R)} = \begin{cases} M a \dot{\alpha} \ddot{y}_1 \\ M a^2 \dot{\alpha} \ddot{z} + A \dot{\beta} \ddot{x}_1 + B \dot{\alpha} \sin \beta \ddot{y}_2 + C \dot{\alpha} \cos \beta \ddot{z}_2 \end{cases}$$

$$C_{(3/R)} = \begin{cases} m \, \overrightarrow{V}(P \in 3/R) \\ \vec{\sigma}_{_{O}}(3/R) \end{cases} \quad \text{avec } \vec{\sigma}_{_{O}}(3/R) = \vec{\sigma}_{_{P}}(3/R) + \overrightarrow{OP} \wedge m \, \overrightarrow{V}(P \in 3/R) \quad \text{et } \vec{\sigma}_{_{P}}(3/R) = \boldsymbol{I}_{_{P}}(3) \, . \, \overrightarrow{\Omega}(3/R) \end{cases}$$

3 étant une masse ponctuelle, elle est sans dimension donc  $I_P(3)$  est la matrice nulle.

$$\vec{\sigma}_{\mathrm{O}} \ (3/R) = (a\,\vec{x}_{1} + b\,\vec{z}_{2}) \wedge m(\,a\,\dot{\alpha}\,\vec{y}_{1} + b\,\dot{\alpha}\sin\beta\,\vec{x}_{1} - b\,\dot{\beta}\,\vec{y}_{2})$$

$$\vec{\sigma}_{O}(3/R) = (a\vec{x}_{1} + b\vec{z}_{2}) \wedge m(a\dot{\alpha}\vec{y}_{1} + b\dot{\alpha}\sin\beta\vec{x}_{1} - b\dot{\beta}\vec{y}_{2})$$

$$d'où \begin{bmatrix} m(a\dot{\alpha}\vec{y}_{1} + b\dot{\alpha}\sin\beta\vec{x}_{1} - b\dot{\beta}\vec{y}_{2}) \\ m(3/R) = \begin{cases} m(a\dot{\alpha}\vec{y}_{1} + b\dot{\alpha}\sin\beta\vec{x}_{1} - b\dot{\beta}\vec{y}_{2}) \\ m[a^{2}\dot{\alpha}\vec{z} + b(b\dot{\beta} - a\dot{\alpha}\cos\beta)\vec{x}_{1} + b^{2}\dot{\alpha}\sin\beta\vec{y}_{2} - ab\dot{\beta}\vec{z}_{2} \end{bmatrix}$$

$$\mathbf{Q4:} \qquad \vec{\delta}_0(1/R). \ \vec{z} = \frac{d}{dt_{/R}} \vec{\sigma}_0(1/R). \ \vec{z} = \frac{d}{dt_{/R}} (\vec{\sigma}_0(1/R).\vec{z}) = I \ \ddot{\alpha} \qquad \text{rotation autour d'un axe fixe}$$

$$\mathbf{Q5:} \ \, \vec{\delta}_0(\text{2/R}). \ \, \vec{z} = \left[\frac{d\vec{\sigma}_O(\text{2/R})}{dt}\right]_R. \\ \vec{z} = \frac{d(\vec{\sigma}_O(\text{2/R}).\vec{z}}{dt} \quad car \ \, O \ \, et \ \, \vec{z} \ \, sont \ \, fixes \ \, dans \ \, R$$

d'où 
$$\vec{\delta}_0$$
 (2/R).  $\vec{z} = \frac{d}{dt} [(M a^2 + B \sin^2\!\beta + C \cos^2\!\beta) \dot{\alpha}]$ 

$$\mathbf{Q6:} \quad \vec{\delta}_0 \text{ (3/R). } \vec{x}_1 = \left[ \frac{d\vec{\sigma}_O (3/R)}{dt} \right]_R \cdot \vec{x}_1 = \frac{d(\vec{\sigma}_O (3/R).\vec{x}_1}{dt} - \vec{\sigma}_O \text{ (3/R).} \left[ \frac{d\vec{x}_1}{dt} \right]_R \quad \text{(car O fixe dans $R$ mais pas $\vec{x}_1$ )}$$

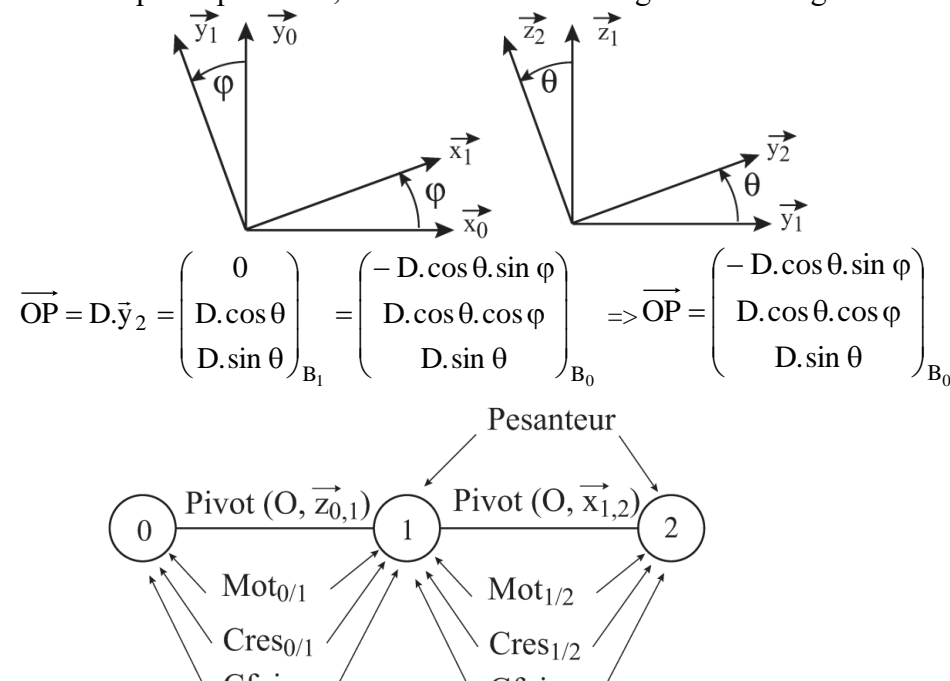
$$= m \ b \frac{d}{dt} (b \dot{\beta} - a \ \dot{\alpha} \ \cos\beta) - m [ \ a^2 \ \dot{\alpha} \ \vec{z} + b (b \dot{\beta} - a \ \dot{\alpha} \cos\beta) \vec{x}_1 + b^2 \ \dot{\alpha} \sin\beta \ \vec{y}_2 - a \ b \ \dot{\beta} \ \vec{z}_2 \ ]. \ \dot{\alpha} \ \vec{y}_1 + b^2 \ \dot{\alpha} \sin\beta \ \vec{y}_2 - a \ \dot{\beta} \ \vec{z}_2 \ ]. \ \dot{\alpha} \ \vec{y}_1 + b^2 \ \dot{\alpha} \sin\beta \ \vec{y}_2 - a \ \dot{\beta} \ \vec{y}_2 - a \ \dot{\beta} \ \vec{y}_2 - a \ \dot{\beta} \ \vec{y}_3 - a \ \dot{\beta} \$$

d'où 
$$\vec{\delta}_0$$
 (3/R).  $\vec{x}_1 = m \ b \ (b \ \ddot{\beta} - a \ \ddot{\alpha} \ \cos\beta - b \ \dot{\alpha}^2 \ \sin\beta \cos\beta)$ 

Lvcée Claude Fauriel Page 2 sur 12

## **Exercice 6**: équations de Mouvement complexes de la station de mesures topo (extrait Centrale MP 2017)

Q1: Les deux angles n'étant pas coplanaires, il faut dessiner deux figures de changement de bases.



Q3:

Q2:

	Ensemble	Equation scalaire	Justification
	isolé		
(E1)	1 & 2	Théorème du moment dynamique en (O) en projection sur $\vec{z}_{0,1}$	On utilise le fait que le moment en (O sur $(\vec{z}_{0,1})$ est nul dans la liaison pivot entre (0) et (1) (les actions mécaniques dans les pivots n'interviendront pas), les actions mécaniques de frottement sec, fluide et du moteur sont connues. Nous aurons donc l'équation différentielle souhaitée.
(E2)	2	Théorème du moment dynamique en (O) en projection sur $\vec{x}_{1,2}$	On utilise le fait que le moment en (O sur $(\vec{x}_{1,2})$ est nul dans la liaison pivot entre (1) et (2) (les actions mécaniques dans la pivot n'interviendront pas), les actions mécaniques de frottement sec, fluide et du moteur sont connues. Nous aurons donc l'équation différentielle souhaitée.

#### **Q4**:

A) On isole (1 & 2) et on applique le théorème du moment dynamique en (O) en projection sur  $\vec{z}_{0,1}$ :

$$\Sigma \overrightarrow{M_{\text{ext} \rightarrow 1 \cup 2}^{\text{O}}} \cdot \vec{z}_{0,1} = \left( \overrightarrow{\delta_{1/0}^{\text{O}}} + \overrightarrow{\delta_{2/0}^{\text{O}}} \right) \cdot \vec{z}_{0,1}$$

$$0 + 0 + \frac{k_1}{\rho_1} \cdot \left( c_{m1} + c_{r1} - f_{Eq1} \cdot \dot{\phi} \right) = \frac{d \left( \overrightarrow{\sigma_{1/0}^O} \cdot \vec{z}_{0,1} \right)}{dt} + \frac{d \left( \overrightarrow{\sigma_{2/0}^O} \cdot \vec{z}_{0,1} \right)}{dt} \ (\textit{car O est centre d'inertie des pièces 1 et 2}).$$

 $\textit{Remarque: les deux $\alpha$ 0 $ \textit{"" représentent le moment en O sur $\vec{z}_{0,1}$ de la pesanteur et de la liaison pivot entre 0 et 1.}$ 

Lycée Claude Fauriel Page 3 sur 12

$$Avec \, \overrightarrow{\sigma_{2/0}^O} = I(O,2) \, . \, \overrightarrow{\Omega_{2/0}} = \begin{bmatrix} J_{x2} & 0 & 0 \\ 0 & J_{y2} & 0 \\ 0 & 0 & J_{z2} \end{bmatrix}_{(O,B_2)} \, . \, \begin{bmatrix} \dot{\theta} \\ \dot{\phi}.sin\theta \\ \dot{\phi}.cos\theta \end{bmatrix}_{(B_2)} \\ = \begin{bmatrix} J_{x2} \, . \dot{\theta} \\ J_{y2} \, . \dot{\phi}.sin\theta \\ J_{z2} \, . \dot{\phi}.cos\theta \end{bmatrix}_{(B_2)} \, (car \, O \, est \, centre \, d \, inertie \, de \, 2) \, ;$$

$$\text{de plus } \vec{z}_1 = \begin{bmatrix} 0 \\ \sin \theta \\ \cos \theta \end{bmatrix}_{(B_2)} \text{d'où } \frac{k_1}{\rho_1} \cdot \left( c_{m1} + c_{r1} - f_{Eq1} \cdot \dot{\phi} \right) = J_{Z1} \cdot \ddot{\phi} + \frac{d \left( J_{z2} \cdot \dot{\phi} \cdot \cos^2 \theta + J_{y2} \cdot \dot{\phi} \cdot \sin^2 \theta \right)}{dt}$$

$$\text{II vient}: c_{m1} + c_{r1} = J_{Z1} \cdot \frac{\rho_{1}}{k_{1}} \cdot \ddot{\phi} + f_{Eq1} \cdot \dot{\phi} + \frac{d \left(J_{z2} \cdot \frac{\rho_{1}}{k_{1}} \cdot \dot{\phi} \cdot \cos^{2}\theta + J_{y2} \cdot \frac{\rho_{1}}{k_{1}} \cdot \dot{\phi} \cdot \sin^{2}\theta\right)}{dt}$$

$$Nous \ obtenons \ la \ première \ \'equation \ avec : \left[A_1 = J_{Z1} \, . \, \frac{\rho_1}{k_1}\right], \ \left[B_1 = f_{Eq1}\right]; \left[C_{11} = J_{y2} \, . \, \frac{\rho_1}{k_1}\right]; \left[C_{12} = J_{z2} \, . \, \frac{\rho_1}{k_1}\right]$$

B) On isole (2) et on applique le théorème du moment dynamique en (O) en projection sur  $\,\vec{x}_{1,2}\,$ :

$$\Sigma \overrightarrow{M_{\text{ext} \to 2}^{\text{O}}} \cdot \vec{x}_{1,2} = \overrightarrow{\delta_{2/0}^{\text{O}}} \cdot x_{1,2} = \frac{d \left( \overrightarrow{\sigma_{2/0}^{\text{O}}} \cdot \vec{x}_{1,2} \right)}{dt} - \overrightarrow{\sigma_{2/0}^{\text{O}}} \cdot \left( \frac{d\vec{x}_{1,2}}{dt} \right)_{0} (car \ O \ est \ centre \ d'inertie \ de \ la \ pièce \ 2).$$

$$\vec{x}_{1,2}$$
 de la pesanteur et de la liaison pivot entre 1 et 2).  $\vec{y}_1 = \begin{bmatrix} 0 \\ \cos \theta \\ -\sin \theta \end{bmatrix}_{(B_2)}$ 

D'où 
$$\frac{k_2}{\rho_2} \cdot (c_{m2} + c_{r2} - f_{Eq2} \cdot \dot{\theta}) = J_{x2} \cdot \ddot{\theta} - (J_{y2} - J_{z2}) \cdot \dot{\phi}^2 \cdot \sin\theta \cdot \cos\theta$$

Il vient : 
$$c_{m2} + c_{r2} = J_{x2} \cdot \frac{\rho_2}{k_2} \cdot \ddot{\theta} + f_{Eq2} \cdot \dot{\theta} + (J_{z2} - J_{y2}) \cdot \frac{\rho_2}{2 \cdot k_2} \cdot \dot{\phi}^2 \cdot \sin(2.\theta)$$

Nous obtenons la deuxième équation avec :  $A_2 = J_{x2} \cdot \frac{\rho_2}{k_2}$ ,  $B_2 = f_{Eq2}$ ;  $C_2 = (J_{z2} - J_{y2}) \cdot \frac{\rho_2}{2 \cdot k_2}$ 

**Q5**: Dans le cas particulier où  $\theta = 0^{\circ}$ , nous obtenons :  $c_{m1} + c_{r1} = A_1 \cdot \overline{\phi} + B_1 \cdot \overline{\phi} + C_{12} \cdot \overline{\phi}$  &  $c_{m2} + c_{r2} = A_2 \cdot \overline{\theta} + B_2 \cdot \overline{\theta}$ 

$$C_{m1} + C_{r1} - B_1 \, \rho_1 \, \omega_{m1} = (A_1 + C_{12}) \rho_1 \, \dot{\omega}_{m1} = J_{eq1} \, \dot{\omega}_{m1}$$

$$C_{m2} + C_{r2} - B_2 \, \rho_2 \, \omega_{m2} = A_2 \rho_2 \, \dot{\omega}_{m2} = J_{eq2} \, \dot{\omega}_{m2}$$

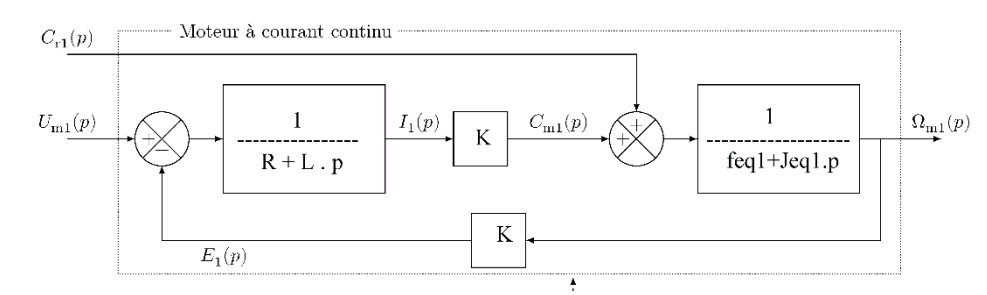
D'où : 
$$J_{eq1} = (A_1 + C_{12})\rho_1 = \frac{\rho_1^2}{k_1}(J_{z1} + J_{z2})$$
  $J_{eq2} = A_2 \rho_2 = \frac{\rho_2^2}{k_2}J_{x2}$ 

#### **O6**:

Le bloc laissé vide dans le schémabloc est un intégrateur dont la

fonction de transfert est  $\left| \frac{1}{p} \right|$ . En effet,

l'entrée de ce bloc est  $\Omega_{ml}(p)$  alors que la sortie est  $\theta_{ml}(p)$  .



Lycée Claude Fauriel Page 4 sur 12

## **Exercice 7**: roulement sans glissement et équation de mouvement (extrait Ccp MP 2015)

On isole la bille, on applique le principe fondamental de la dynamique et on écrit le théorème de la résultante dynamique en projection sur  $\vec{z}_1$  (le bilan des actions mécaniques est fait dans l'énoncé)

$$\begin{split} \vec{\Gamma}(G \in bille/0) &= \left[\frac{d\left((R-r)\dot{\theta}\vec{x}_1\right)}{dt}\right]_0 = (R-r)\ddot{\theta}\vec{x}_1 + (R-r)\dot{\theta}\left[\frac{d\vec{x}_1}{dt}\right]_0 = (R-r)\ddot{\theta}\vec{x}_1 - (R-r)\dot{\theta}^2\vec{z}_1 \\ &\quad \text{TRD}/\vec{z}_1: \quad -m(R-r)\dot{\theta}^2 = mg\vec{z}_0.\vec{z}_1 + F(t)\vec{x}_0.\vec{z}_1 - N_1 \\ &\quad \Rightarrow \quad -m(R-r)\dot{\theta}^2 = mg\cos\theta + F(t)\sin\theta - N_1 \\ &\quad \Rightarrow \quad N_1 = F(t)\sin\theta + mg\cos\theta + m(R-r)\dot{\theta}^2 \end{split}$$

On isole la bille, on applique le principe fondamental de la dynamique et on écrit le théorème du moment dynamique au point G en projection sur  $\vec{y}_0$  (le bilan des actions mécaniques est fait dans l'énoncé)

$$rT_1 = \frac{2}{5}mr^2\left(\frac{r-R}{r}\ddot{\theta}\right) \Rightarrow T_1 = \frac{2}{5}m(r-R)\ddot{\theta}$$

On isole la bille, on applique le principe fondamental de la dynamique et on écrit le théorème de la résultante dynamique en projection sur  $\vec{x}_1$  (le bilan des actions mécaniques est fait dans l'énoncé)

TRD/
$$\vec{x}_1$$
:  $m(R-r)\ddot{\theta} = -f_v(R-r)\dot{\theta} + T_1 + mg\vec{z}_0 \cdot \vec{x}_1 + F(t)\vec{x}_0\vec{x}_1$ 

$$\Rightarrow m(R-r)\ddot{\theta} = -f_v(R-r)\dot{\theta} + T_1 - mg\sin\theta + F(t)\cos\theta \operatorname{avec}T_1 = \frac{2}{5}m(r-R)\ddot{\theta}$$

$$\Rightarrow m(R-r)\ddot{\theta} = -f_v(R-r)\dot{\theta} + \frac{2}{5}m(r-R)\ddot{\theta} - mg\sin\theta + F(t)\cos\theta$$

$$\Rightarrow F(t)\cos\theta = m(R-r)\ddot{\theta} + f_v(R-r)\dot{\theta} - \frac{2}{5}m(r-R)\ddot{\theta} + mg\sin\theta$$

$$\Rightarrow F(t)\cos\theta = f_v(R-r)\dot{\theta} + mg\sin\theta + m(R-r)\ddot{\theta} + \frac{2}{5}m(R-r)\ddot{\theta}$$

$$\Rightarrow F(t)\cos\theta = f_v(R-r)\dot{\theta} + mg\sin\theta + \frac{7}{5}m(R-r)\ddot{\theta}$$

# **Exercice 9:** Inertie équivalente de l'axe en translation du robot chirurgical MC<sup>2</sup>E (extrait Mines mp 2016)

Q1: Transmission par courroie inextensibles et sans glissement :  $\omega_e = \frac{R_i}{R_e}$ .  $\omega_i = \frac{R_i}{R_e}$ . r.  $\omega_m$ Roulement sans glissement en  $I_i$ :  $\overrightarrow{V}(I_i, 4/g_i) = \overrightarrow{0}$ d'où  $\overrightarrow{V}(I_i, 4/0) = v(t)\overrightarrow{z_0} = \overrightarrow{V}(I_i, g_i/0) = -R_g\overrightarrow{y_0} \wedge \omega_e\overrightarrow{x_0} = R_g$ .  $\omega_e\overrightarrow{z_0}$ 

$$v(t) = R_g \cdot \frac{R_i}{R_e} \cdot r \cdot \omega_m(t)$$
  $z(t) = R_g \cdot \frac{R_i}{R_e} \cdot r \cdot \theta_m(t)$  en supposant les CI nulles

Q2: 
$$E_c(E/0) = \frac{1}{2} (I_m \omega_m^2 + I_r \omega_i^2 + I_i \omega_i^2 + I_e \omega_e^2 + 2I_p \omega_e^2 + 6I_g \omega_e^2 + m_4 \cdot v^2)$$

D'où: 
$$J = I_m + r^2(I_r + I_i) + (I_e + 2I_p + 6I_g) \frac{r^2 R_i^2}{R_e^2} + m_4 \cdot \frac{r^2 R_i^2 \cdot R_g^2}{R_e^2}$$

Lycée Claude Fauriel Page 5 sur 12

## **Exercice 10:** inertie équivalente du bras robot maxpid

Q1 : On calcule l'énergie cinétique de l'ensemble en mouvement :

$$T_{(ensemble/0)} = T_{(Stator/0)} + T_{(Vis/0)} + T_{(\acute{e}crou/0)} + T_{(bras/0)} +$$

Stator et bras tournent autour d'un axe fixe : pas nécessaire de « sortir l'artillerie lourde » c'est-à-dire les torseurs. On utilise le résultat simplifié :  $T = \frac{1}{2}J.\omega^2$ .

Ce qui donne :  $T_{(Stator/0)} = \frac{1}{2} J_{stator} \dot{\alpha}^2$  et  $T_{(bras/0)} = \frac{1}{2} J_{bras} \dot{\theta}^2$ 

Les deux moments d'inertie  $J_{stator}$  et  $J_{bras}$  ne sont pas donnés (on donne celui du bras associé à l'écrou) parce qu'on va négliger les énergies cinétiques dans lesquelles intervient  $\dot{\alpha}$ . La courbe donnée ( $\theta = f(\alpha)$ ) montre que sur une variation de  $60^{\circ}$  pour  $\theta$ ,  $\alpha$  ne varie que de  $16^{\circ}$ . On va donc négliger les énergies cinétiques dues à la vitesse angulaire  $\dot{\alpha}$ . Celle du stator qui tourne autour de l'axe fixe  $(0,\overline{Z_0})$  d'un angle  $\alpha$ , celle de la vis qui tourne à la fois autour de son axe propre (angle  $\beta$ ) et de l'axe  $(O, \overrightarrow{Z_0})$  d'un angle  $\alpha$ . Enfin celle de l'écrou qui sera donc considéré fixe par rapport au bras alors qu'il tourne d'un angle  $\theta + \alpha$ . On néglige ces énergies cinétiques également parce que les solides concernés sont de dimensions radiales et masses faibles.

Compte tenu de l'énoncé et des remarques précédentes pour l'ensemble bras+écrou+masses en considérant le cet ensemble ne fait que tourner autour de l'axe  $(B, \overline{Z_0})$  d'un angle  $\theta$ :

$$T_{(bras+\acute{e}crou/0)} = \frac{1}{2} \cdot (J_b + J_m) \cdot \dot{\theta}^2$$
 les masses sont accrochées au bras

Pour la vis + rotor = E moteur qui tournent autour de leur axe propre et de l'axe  $(0, \overline{Z_0})$  d'un angle  $\alpha$ :

$$T_{(Vis+rotor/0)} = 1/2 \left\{ \frac{m_E \overrightarrow{V_{(G \in E/0)}}}{\overrightarrow{\sigma_{(O,E/0)}}} \right\}_O \otimes \left\{ \overrightarrow{\Omega_{E/0}} \right\}_O = 1/2 \left\{ \frac{m_E \overrightarrow{V_{(G \in E/0)}}}{\overrightarrow{\sigma_{(O,E/0)}}} \right\}_O \otimes \left\{ \overrightarrow{\Omega_{E/0}} = \overrightarrow{\beta} \overrightarrow{x_v} + \overrightarrow{\alpha} \overrightarrow{z_0} \right\}_O$$

$$\overrightarrow{\Omega_{E/0}} = \dot{\beta} \overrightarrow{x_v} + \dot{\alpha} \overrightarrow{z_0}$$
 avec  $\overrightarrow{x_v} = \frac{\overrightarrow{oc}}{\|\overrightarrow{oc}\|}$  l'axe de la vis

$$\overrightarrow{\sigma_{(O,E/0)}} = I(O,E).\overrightarrow{\Omega_{E/0}}$$
 car O est fixe dans le repère 0

$$= \begin{bmatrix} J_v + J_r & 0 & 0 \\ 0 & * & 0 \\ 0 & 0 & * \end{bmatrix} \cdot \begin{bmatrix} \beta \\ 0 \\ \dot{\alpha} \end{bmatrix}$$

 $= \begin{bmatrix} J_v + J_r & 0 & 0 \\ 0 & * & 0 \\ 0 & 0 & * \end{bmatrix} \cdot \begin{bmatrix} \dot{\beta} \\ 0 \\ \dot{z} \end{bmatrix} \qquad \text{matrice et vecteur rotation exprimés dans la base} (\overrightarrow{x_v}, \overrightarrow{y_v}, \overrightarrow{z_0})$ 

$$= (J_v + J_r)\dot{\beta}\overrightarrow{x_v} + *\dot{\alpha}\overrightarrow{z_0}$$

\* est le moment d'inertie de E/axe  $(0, \overrightarrow{Z_0})$  non donné puisqu'on va le négliger

D'où  $T_{(Vis+rotor/0)} = 1/2(J_v + J_r)\dot{\beta}^2 + *\dot{\alpha}^2 \approx 1/2(J_v + J_r)\dot{\beta}^2$  on néglige les NRJ Cinétiques dues à la rotation d'angle α.

D'où: 
$$T_{(ensemble/0)} = \frac{1}{2} \cdot \left[ (J_b + J_m) \cdot \dot{\theta}^2 + (J_v + J_r) \dot{\beta}^2 \right] = \frac{1}{2} \cdot \left[ (J_b + J_m) \cdot (\lambda \cdot \dot{\beta})^2 + (J_v + J_r) \dot{\beta}^2 \right] = \frac{1}{2} \cdot J_{eq} \dot{\beta}^2$$

D'où l'inertie équivalente :  $J_{eq} = (J_b + J_m)\lambda^2 + J_v + J_r$ 

Q2: pour la vis on utilise le résultat à connaître pour un cylindre : moment d'inertie autour de son axe =  $\frac{1}{2}$  m R<sup>2</sup>  $J_v = \frac{1}{2} \cdot (\rho \cdot \pi \cdot r_v^2 \cdot L_v) \cdot r_v^2 = \frac{1}{2} \rho \cdot \pi \cdot L_v \cdot r_v^4 = 0.5 * 7600 * 3.14 * 0.195 * (0.005)^4$ 

Pour les masses supposées ponctuelles, c'est huygens qui nous dit :  $J_m = m. L_m^2 = 1.3. (0.28)^2$ 

D'où : 
$$J_{eq} = (0.022 + 0.10192) \cdot (\frac{1}{112})^2 + 1.45 \cdot 10^{-6} + 7 \cdot 10^{-6} = 18.3 \cdot 10^{-6} \text{en kg. m}^2$$

Lvcée Claude Fauriel Page 6 sur 12

Couple moteur C produit par 3

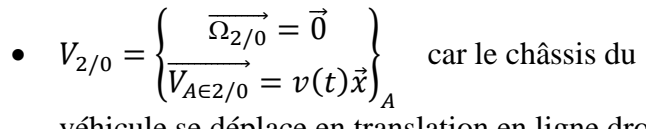
sur 1 -C par 3sur 2

### MP\*/MP

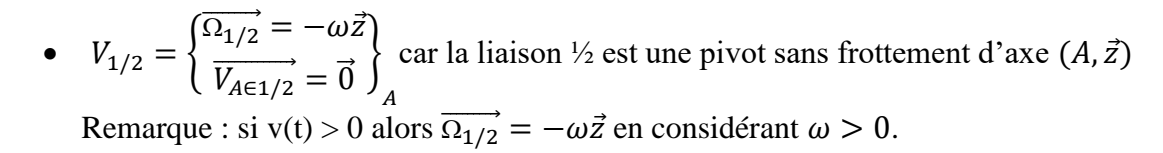
# Exercice 11: Puissances des actions mécaniques dans une roue de véhicule

Faisons un graphe des liaisons sur lequel on rajoute les actions mécaniques : action de pesanteur négligée devant les modules des actions aux liaisons.

## Q1: torseurs cinématiques



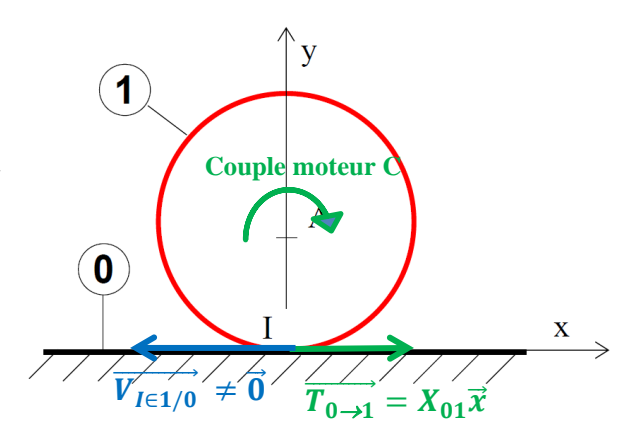
véhicule se déplace en translation en ligne droite suivant  $\vec{x}$ 



• 
$$V_{1/0} = \begin{cases} \overrightarrow{\Omega_{1/0}} = \overrightarrow{\Omega_{1/2}} + \overrightarrow{\Omega_{2/0}} = -\omega \vec{z} \\ \overrightarrow{V_{I \in 1/0}} = \vec{0} \end{cases}_{I}$$
 car RSG en I

## Q2: torseurs d'action mécanique ou inter-effort

• 
$$T_{0\to 1} = \left\{ \overrightarrow{R_{0\to 1}} = X_{01} \vec{x} + Y_{01} \vec{y} \right\}_I$$
 car liaison ponctuelle de normale  $(I, \vec{y})$  avec frottement puisqu'il y a RSG. Si glissement (la roue arrière 1 patine) l'action due au frottement  $(\overline{T_{0\to 1}})$  est vers la droite



**Ponctuelle** 

(I,y)

pivot (A,z)

0

- $T_{1\to 2} = \left\{ \overrightarrow{R_{1\to 2}} = X_{12} \vec{x} + Y_{12} \vec{y} \right\}_A$  car liaison pivot sans frottement avec hypothèse Pb plan (xAy)
- $T_{3\to 1} = \left\{ \frac{\overrightarrow{R}_{3\to 1}}{\overrightarrow{M}_{A,3\to 1}} = \overrightarrow{0} \right\}_A$  car C (supposé > 0) engendre  $\omega$  donc la rotation de 1/2 dans le sens horaire.

### Q3: Puissances

 $\bullet \quad P_{0 \to 1/0} = \left\{ \overrightarrow{R_{0 \to 1}} = X_{01} \vec{x} + Y_{01} \vec{y} \right\}_{I} \otimes \left\{ \overrightarrow{\Omega_{1/0}} = -\omega \vec{z} \right\}_{I} = \overrightarrow{R_{0 \to 1}} \cdot \overrightarrow{V_{I \in 1/0}} + \overrightarrow{M_{I,0 \to 1}} \cdot \overrightarrow{\Omega_{1/0}} = 0$  Résultat à

connaître : la puissance perdue est nulle dans le cas du roulement sans glissement. P ext.

•  $P_{3 \to 1/2} = \left\{ \overrightarrow{R_{3 \to 1}} = \overrightarrow{0} \atop \overrightarrow{M_{A,3 \to 1}} = -C \overrightarrow{z} \right\}_A \otimes \left\{ \overrightarrow{O_{1/2}} = -\omega \overrightarrow{z} \atop \overrightarrow{V_{A \in 1/2}} = \overrightarrow{0} \right\}_A = C. \omega$  c'est la puissance motrice fournie par le moteur. Pint en isolant 1+2+3.

•  $P_{3\to 1/0} = \left\{ \overrightarrow{R_{3\to 1}} = \overrightarrow{0} \atop \overrightarrow{M_{A,3\to 1}} = -C\overrightarrow{z} \right\}_{A} \otimes \left\{ \overrightarrow{\Omega_{1/0}} = -\omega \overrightarrow{z} \atop \overrightarrow{V_{A\in 1/0}} = v(t)\overrightarrow{x} \right\}_{A} = C.\omega$  Pext en isolant uniquement 1

Lycée Claude Fauriel Page 7 sur 12

• 
$$P_{1\to 2/1} = \left\{ \overrightarrow{R_{1\to 2}} = X_{12} \vec{x} + Y_{12} \vec{y} \right\}_A \otimes \left\{ \overrightarrow{Q_{2/1}} = \omega \vec{z} \right\}_A = 0$$
 Résultat à connaître : la puissance perdue dans

une liaison parfaite est nulle (pas de frottement). Pint en isolant 1+2

$$\bullet \quad P_{0 \to 1/2} = \left\{ \overrightarrow{M_{A,0 \to 1}} = \overrightarrow{Q} + \overrightarrow{AI} \wedge \overrightarrow{Q} \right\}_{A} \otimes \left\{ \overrightarrow{Q_{1/2}} = -\omega \overrightarrow{Z} \right\}_{A} = a. X_{01}. \omega \quad \text{ni Pext, ni Pint.}$$

$$\bullet \quad P_{2 \to 1/0} = \left\{ \overrightarrow{\mathbf{R}_{2 \to 1}} = -X_{12} \vec{x} - Y_{12} \vec{y} \right\}_{A} \otimes \left\{ \overrightarrow{\Omega_{1/0}} = -\omega \vec{z} \right\}_{A} = -a. X_{12}. \omega \quad \text{Pext en isolant uniquement 1}$$

• 
$$P_{1\to 2/0} = \left\{\overrightarrow{R_{1\to 2}} = X_{12}\vec{x} + Y_{12}\vec{y}\right\}_A \otimes \left\{\overrightarrow{Q_{2/0}} = \overrightarrow{0}\right\}_A \otimes \left\{\overrightarrow{V_{A\in 2/0}} = v(t)\vec{x}\right\}_A = X_{12}.v(t)$$
 Pext en isolant uniquement 2

$$\mathbf{Q4}: P_{0 \to 1/0} = \left\{ \overrightarrow{R_{0 \to 1}} = X_{01} \vec{x} + Y_{01} \vec{y} \\ \overrightarrow{M_{I,0 \to 1}} = (\lambda \cdot Y_{01} + a \cdot X_{01}) \vec{z} \right\}_{A} \otimes \left\{ \overrightarrow{\Omega_{1/0}} = -\omega \vec{z} \\ \overrightarrow{V_{A \in 1/0}} = v(t) \vec{x} \right\}_{A} = X_{01} \cdot v(t) - \omega(\lambda \cdot Y_{01} + a \cdot X_{01})$$

Or 
$$\overrightarrow{V_{A\in 1/0}} = \overrightarrow{V_{A\in 1/2}} + \overrightarrow{V_{A\in 2/0}} = v(t)\vec{x} = \overrightarrow{V_{I\in 1/0}} + \overrightarrow{AI} \wedge \overrightarrow{\Omega_{1/0}} = a. \omega \vec{x}$$

D'où 
$$P_{0\to 1/0} = X_{01} \cdot v(t) - \omega(\lambda \cdot Y_{01} + a \cdot X_{01}) = -\lambda \cdot Y_{01} \cdot \omega$$
 C'est la puissance perdue

On perd d'autant plus d'NRJ que le véhicule est lourd ( $Y_{01}$  grand), le pneu est sous gonflé ( $\lambda$  augmente), la vitesse augmente.

## **Exercice 12:** Applications du T.E.C.

Exercice 5 (Q2) avec le TEC: on isole tous les solides qui bougent donc 1+2

BAME :  $T_{0\to 1}, T_{0\to 2}, T_{rotor\ moteur\to 1}, T_{ressort\to 2}, T_{fluide\to 2}$  . La pesanteur est négligée

BAMI :  $T_{2\rightarrow 1}$  ou  $T_{1\rightarrow 2}$ 

Le TEC sur 1+2 s'écrit : 
$$\frac{d}{dt}Ec_{(1+2/0)} = P_{ext\to 1+2} + P_{int}$$
 
$$Ec_{(1+2/0)} = Ec_{(1/0)} + Ec_{(2/0)} = \frac{1}{2}.I.\dot{\theta}^2 + \frac{1}{2}.m.v^2$$

Car 1 tourne autour de l'axe fixe  $(0, \vec{x_0})$  d'un angle  $\theta$  et son moment d'inertie autour de cet axe est noté I.

Car 2 translate rectilignement avec une vitesse  $v(t) = e.\dot{\theta}.\cos\theta$  (calcul exo4) et sa masse est notée m)

$$P_{ext \to 1+2} = P_{0 \to 1/0} + P_{0 \to 2/0} + P_{rotor\ moteur \to 1/0} + P_{fluide \to 2/0} + P_{ressort \to 2/0}$$

- $P_{0 \to 1/0}$  et  $P_{0 \to 2/0}$  sont nulles : liaisons parfaites
- $P_{rotor\ moteur \to 1/0} = C.\dot{\theta}$  c'est la puissance motrice (>0)
- $P_{fluide \to 2/0} = \vec{F}_{fluide} \cdot v(t) \vec{z_0} = -F(t) \cdot e \cdot \dot{\theta} \cdot cos\theta$  puissance tantôt < 0 (si F(t) > 0 et que 2 monte), tantôt > 0 (si F(t) > 0 et que 2 descend)
- $P_{ressort \to 2/0} = \vec{F}_{ressort} \cdot v(t) \vec{z_0} = -(F_0 + k. e. sin\theta) \cdot e. \dot{\theta} \cdot cos\theta$  même remarque que pour la puissance précédente.
- Remarque: inutile ici de faire des comoments de torseur. Les mouvements sont une rotation autour d'un axe fixe générée par un couple pour 1, et une translation alternative rectiligne générée ou empêchée par des forces (centrales) pour 2. On utilise « P = Cω » quand ça tourne et « P = F.V » quand ça translate. Attention toutefois, ceux sont des produits scalaires...

$$P_{int} = P_{2 \to 1/2} \quad \text{ou } P_{1 \to 2/1} \text{ attention de ne pas la compter 2 fois}$$

$$= T_{2 \to 1} \otimes V_{1/2} = \begin{cases} \overrightarrow{R_{2 \to 1}} = -Z_{21} \overrightarrow{z_0} \\ \overrightarrow{M_{B,2 \to 1}} = \overrightarrow{0} \end{cases}_B \otimes \begin{cases} \overrightarrow{\Omega_{1/2}} \\ \overrightarrow{V_{B \in 1/2}} = v_g \overrightarrow{y_0} \\ \end{cases}_B = 0$$

Lycée Claude Fauriel Page 8 sur 12

Le détail du calcul n'est pas nécessaire puisque la liaison est une ponctuelle parfaite. ( $\overrightarrow{V_{B\in 1/2}} = v_g \overrightarrow{y_0}$  est la vitesse de glissement en B et est donc dans le plan tangent commun au contact, donc sur l'horizontale passant par B)

D'où : 
$$I.\dot{\theta}.\ddot{\theta} + m.e^2.\dot{\theta}.\ddot{\theta}.\cos^2\theta - m.e^2.\dot{\theta}^3.\sin\theta = C.\dot{\theta} - F(t).e.\dot{\theta}.\cos\theta - (F_0 + k.e.\sin\theta).e.\dot{\theta}.\cos\theta$$

Soit l'équation de mouvement :

$$I.\ddot{\theta} + m.e^2.\ddot{\theta}.\cos^2\theta - m.e^2.\dot{\theta}^2.\sin\theta = C - F(t).e.\cos\theta - (F_0 + k.e.\sin\theta).e.\cos\theta$$

### **Exercice 7 avec le TEC :**

On l'applique à la bille donc pas de puissance intérieure :  $\frac{d}{dt}Ec_{\text{(bille/0)}} = P_{ext \to \text{bille/0}}$ 

$$\bullet \quad Ec_{(\text{bille/0})} = 1/2 \left\{ \begin{matrix} m \overrightarrow{V_{(G \in bille/0)}} \\ \overrightarrow{\sigma_{(G,bille/0)}} \end{matrix} \right\}_G \otimes \left\{ \begin{matrix} \overrightarrow{\Omega_{bille/0}} \\ \overrightarrow{V_{(G \in bille/0)}} \end{matrix} \right\}_G = 1/2 \left\{ \begin{matrix} mv \overrightarrow{x_1} \\ J \omega_b \overrightarrow{y_0} \end{matrix} \right\}_G \otimes \left\{ \begin{matrix} \omega_b \overrightarrow{y_0} \\ v \overrightarrow{x_1} \end{matrix} \right\}_G = \frac{1}{2} (mv^2 + J\omega_b^2)$$

• 
$$P_{ext \to \text{bille}/0} = P_{pes \to \text{bille}/0} + P_{fluide \to \text{bille}/0} + P_{bob \to \text{bille}/0} + P_{rail \to \text{bille}/0}$$

$$\begin{split} P_{pes \to \text{bille}/0} &= \left\{ \begin{matrix} m. \ g \ \overrightarrow{z_0} \\ \overrightarrow{0} \end{matrix} \right\}_G \otimes \left\{ \begin{matrix} \omega_b \overrightarrow{y_0} \\ v \ \overrightarrow{x_1} \end{matrix} \right\}_G = -m. \ g. \ v \ sin \theta \\ \\ P_{fluide \to \text{bille}/0} &= \left\{ \begin{matrix} -f_v v \ \overrightarrow{x_1} \\ \overrightarrow{0} \end{matrix} \right\}_G \otimes \left\{ \begin{matrix} \omega_b \overrightarrow{y_0} \\ v \ \overrightarrow{x_1} \end{matrix} \right\}_G = -f_v. \ v^2 \\ \\ P_{bob \to \text{bille}/0} &= \left\{ \begin{matrix} F(t) \overrightarrow{x_0} \\ \overrightarrow{0} \end{matrix} \right\}_G \otimes \left\{ \begin{matrix} \omega_b \overrightarrow{y_0} \\ v \ \overrightarrow{x_1} \end{matrix} \right\}_G = F(t). \ v \ cos \theta \end{split}$$

$$P_{rail \rightarrow bille/0} = O RSG en I$$

D'où: 
$$mv \dot{v} + J\omega_b \dot{\omega}_b = -m.g.v \sin\theta - f_v.v^2 + F(t).v \cos\theta$$

Après utilisation des résultats de l'énoncé, on retrouve bien l'équation de mouvement :

$$\frac{7}{5}m(R-r)\ddot{\theta} + f_v(R-r)\dot{\theta} + mg\sin\theta = F(t)\cos\theta$$

# **Exercice 13:** Applications du T.E.C. (extrait Ccp mp 2015)

Question 1 : La position est donnée par l'aire sous la courbe de vitesse, on en déduit :

$$x_{M}^{max} = \frac{T_{a}V_{M}^{x}}{2} + V_{M}^{x}\left(T - T_{a} - T_{a}\right) + \frac{T_{a}V_{M}^{x}}{2} = V_{M}^{x}\left(T - T_{a}\right) \\ \text{d'où} \quad V_{M}^{x} = \frac{x_{M}^{max}}{T - T_{a}} + \frac{T_{A}V_{M}^{x}}{T_{A}} = V_{M}^{x}\left(T - T_{a}\right) \\ \text{d'où} \quad V_{M}^{x} = \frac{x_{M}^{max}}{T_{A}} + \frac{T_{A}V_{M}^{x}}{T_{A}} = V_{M}^{x}\left(T - T_{a}\right) \\ \text{d'où} \quad V_{M}^{x} = \frac{x_{M}^{max}}{T_{A}} + \frac{T_{A}V_{M}^{x}}{T_{A}} = V_{M}^{x}\left(T - T_{a}\right) \\ \text{d'où} \quad V_{M}^{x} = \frac{x_{M}^{max}}{T_{A}} + \frac{T_{A}V_{M}^{x}}{T_{A}} = V_{M}^{x}\left(T - T_{a}\right) \\ \text{d'où} \quad V_{M}^{x} = \frac{x_{M}^{max}}{T_{A}} + \frac{T_{A}V_{M}^{x}}{T_{A}} = V_{M}^{x}\left(T - T_{a}\right) \\ \text{d'où} \quad V_{M}^{x} = \frac{x_{M}^{max}}{T_{A}} + \frac{T_{A}V_{M}^{x}}{T_{A}} = V_{M}^{x}\left(T - T_{a}\right) \\ \text{d'où} \quad V_{M}^{x} = \frac{x_{M}^{max}}{T_{A}} + \frac{T_{A}V_{M}^{x}}{T_{A}} = V_{M}^{x}\left(T - T_{a}\right) \\ \text{d'où} \quad V_{M}^{x} = \frac{x_{M}^{max}}{T_{A}} + \frac{T_{A}V_{M}^{x}}{T_{A}} = V_{M}^{x}\left(T - T_{a}\right) \\ \text{d'où} \quad V_{M}^{x} = \frac{x_{M}^{x}}{T_{A}} + \frac{T_{A}V_{M}^{x}}{T_{A}} = V_{M}^{x}\left(T - T_{a}\right) \\ \text{d'où} \quad V_{M}^{x} = \frac{x_{M}^{x}}{T_{A}} + \frac{T_{A}V_{M}^{x}}{T_{A}} = V_{M}^{x}\left(T - T_{a}\right) \\ \text{d'où} \quad V_{M}^{x} = \frac{x_{M}^{x}}{T_{A}} + \frac{T_{A}V_{M}^{x}}{T_{A}} = V_{M}^{x}\left(T - T_{A}\right) \\ \text{d'où} \quad V_{M}^{x} = \frac{x_{M}^{x}}{T_{A}} + \frac{T_{A}V_{M}^{x}}{T_{A}} = V_{M}^{x}\left(T - T_{A}\right) \\ \text{d'où} \quad V_{M}^{x} = \frac{x_{M}^{x}}{T_{A}} + \frac{T_{A}V_{M}^{x}}{T_{A}} = V_{M}^{x} + \frac{T_{A}V_{M}^{x}}{T_{A}} = V_{M}^{x} + \frac{T_{A}V_{M}^{x}}{T_{A}} = V_{M}^{x} + \frac{T_{A}V_{M}^{x}}{T_{A}} = V_{M}^{x} + V_{M}^{x} + \frac{T_{A}V_{M}^{x}}{T_{A}} = V_{M}^{x} + V_{M}^{x} +$$

#### **Question 2:**

a) On isole l'ensemble des pièces en mouvement, l'inertie cinétique de l'ensemble est :  $\text{Ec}(S/R) = \frac{1}{2}J_e(\omega_m^x)^2$ 

Les puissances intérieures sont nulles (pas de frottement)

La puissance extérieure est donnée par :  $C_{\scriptscriptstyle m} \omega_{\scriptscriptstyle m}^x$ 

Le théorème de l'énergie cinétique appliqué à l'ensemble isolé donne :

$$\frac{d\left(\frac{1}{2}J_{e}\left(\omega_{m}^{x}\right)^{2}\right)}{dt} = P_{int}(S) + P_{ext \to S/R} \quad J_{e}\omega_{m}^{x}\dot{\omega}_{m}^{x} = C_{m}\omega_{m}^{x} \quad J_{e}\dot{\omega}_{m}^{x} = C_{m} \qquad J_{e}\frac{\dot{V}^{x}}{\lambda} = C_{m}$$

Pour la 1<sup>er</sup> phase (t compris entre 0 et Ta) :  $C_m = J_e \frac{\dot{V}_M^x}{\lambda} = J_e \frac{V_M^x}{\lambda T_a}$ 

Pour  $2^{eme}$  phase (t compris entre Ta et T-Ta) :  $C_m=0$ 

Lycée Claude Fauriel Page 9 sur 12

Pour la 3<sup>eme</sup> phase (t compris entre T-Ta et T):  $C_m = J_e \frac{\dot{V}^x}{\lambda} = -J_e \frac{V_M^x}{\lambda T_a}$ 

b) La puissance est maximale quand Cm et  $\,\omega_{m}^{x}\,$  sont maxi donc pour t=T\_{a}

c) 
$$P_{\text{max}} = C_{\text{m}} \omega_{\text{m}}^{\text{x}} = J_{\text{e}} \frac{\dot{V}^{\text{x}}}{\lambda} \omega_{\text{m}}^{\text{x}} = J_{\text{e}} \frac{V_{\text{M}}^{\text{x}}}{\lambda T_{\text{a}}} \omega_{\text{m}}^{\text{x}} = \frac{J_{\text{e}}}{T_{\text{a}}} \left(\frac{V_{\text{M}}^{\text{x}}}{\lambda}\right)^{2}$$

d) Avec le résultat de la 1<sup>er</sup> question, on obtient :  $P_{max} = \frac{J_e}{T_a} \left( \frac{V_M^x}{\lambda} \right)^2 = \frac{J_e}{T_a} \left( \frac{x_M^{max}}{T - T_a} \right)^2 = \frac{J_e}{\lambda^2 T_a} \frac{\left( x_M^{max} \right)^2}{\left[ (T - T_a) \right]^2}$ 

#### **Question 3:**

$$\begin{split} &\frac{dP_{max}}{dT_a} = \frac{d}{dT_a} \left( \frac{J_e}{\lambda^2 T_a} \frac{\left(x_M^{max}\right)^2}{\left[(T - T_a)\right]^2} \right) = \frac{J_e \left(x_M^{max}\right)^2}{\lambda^2} \frac{d}{dT_a} \left( \frac{1}{T_a \left[(T - T_a)\right]^2} \right) = \frac{J_e \left(x_M^{max}\right)^2}{\lambda^2} \frac{\frac{-d}{dT_a} \left(T_a \left[(T - T_a)\right]^2\right)}{\left(T_a \left[(T - T_a)\right]^2\right)^2} \\ &- \frac{d}{dT_a} \left(T_a \left[(T - T_a)\right]^2\right) = \left[(T - T_a)\right]^2 + 2T_a (-1)(T - T_a) = T^2 - 2TT_a + T_a^2 - 2T_aT + 2T_a^2 \\ &- \frac{d}{dT_a} \left(T_a \left[(T - T_a)\right]^2\right) = -T^2 + 4TT_a - 3T_a^2 \\ &- T^2 + 4TT_a - 3T_a^2 = (T_a - \frac{T}{3})(-3T_a + 3T) = 3(T_a - \frac{T}{3})(T - T_a) \end{split}$$

Ta	0 T/3		T		
(Pmax)	-	•	+	• • •	
Pmax					

La puissance est bien minimale pour  $T_a = T/3$  sur l'intervalle [0;T]

**Question 4**: D'après la question 1,  $V_M^x = \frac{x_M^{max}}{T - T_a}$ .

On a aussi: 
$$V^x = R_p \omega_{poulie} = R_p k \omega_m^x$$
  $(\omega_m^x)_{max} = \frac{V_M^x}{R_p k} = \frac{1}{R_p k} \frac{x_M^{max}}{T - T_a}$ 

Avec  $R_p = 20$  mm, k=0.1, T=1s,  $T_a=1/3s$ ,  $x_M^{max} = 0.55m$ 

$$\left(\omega_{m}^{x}\right)_{max} = \frac{1}{20.10^{-3}.0,1} \frac{0.55}{1 - \frac{1}{3}} = 412 rad.s^{-1} = 3940 tr. min^{-1}$$

Ce qui est bien inférieur à la vitesse maximale de rotation du moteur (4150 tr.min<sup>-1</sup>).

Le choix du moteur est donc validé pour la vitesse de rotation

Lycée Claude Fauriel Page 10 sur 12

# **Exercice 14:** Applications du T.E.C. sur une imprimante

Q1: On calcule l'NRJ cinétique galiléenne toujours de l'ensemble des solides qui bougent  $\Sigma$ . Ici un certain nombre de solides se translatent (cartouches et tronçons rectilignes de la courroie) et les autres tournent autour de leurs axes qui restent fixes.

 $Ec_{(\Sigma/0)} = Ec_{(\text{solides qui translatent/0})} + Ec_{(\text{solides qui tournent/0})}$ 

Inutile de faire les calculs avec des torseurs :

- $Ec_{\text{(solides qui translatent/0)}} = \frac{1}{2}M.V_{(M/0)}^{2}$
- · la courroie (brins rectilignes) sur laquelle sont fixées les cartouches est de masse non définie donc négligeable..
- $Ec_{\text{(solides qui tournent/0)}} = \frac{1}{2} (J_M + J_C + J_R) \dot{\theta}_M^2 + \frac{1}{2} J_1 \dot{\theta}_1^2 + \frac{1}{2} J_2 \dot{\theta}_2^2 + \frac{1}{2} J_G \dot{\theta}_G^2$
- · Remarque :  $J_R$  est l'inertie du réducteur ramenée à l'axe moteur
- · Il faut exprimer  $V_{(M/0)}$  et les  $\dot{\theta}_i$  en fonction de  $\dot{\theta}_M$ :
  - Réducteur de rapport k donc  $\dot{\theta}_1 = k. \dot{\theta}_M$
  - Poulies 1 et 2 de même rayon donc  $\dot{\theta}_1 = \dot{\theta}_2$
  - Non glissement poulie1/courroie donc  $V_{(M/0)} = r_1 \dot{\theta}_1 = r.k.\dot{\theta}_M$
  - Non glissement galet tendeur/courroie :  $V_{(M/0)} = r.k.\dot{\theta}_M = r_G\dot{\theta}_G$

D'où : 
$$Ec_{(\Sigma/0)} = \frac{1}{2} \left[ M.r^2.k^2 + (J_M + J_C + J_R) + (J_1 + J_2)k^2 + J_G \frac{r^2.k^2}{r_G^2} \right] \cdot \dot{\theta}_M^2$$

**Q2**: 
$$Ec_{(\Sigma/0)} = \frac{1}{2} \left[ M. r^2. k^2 + (J_M + J_C + J_R) + (J_1 + J_2) k^2 + J_G \frac{r^2. k^2}{r_G^2} \right] . \dot{\theta}_M^2 = \frac{1}{2} J_{eq}. \dot{\theta}_M^2$$

D'où l'inertie équivalente ramenée à l'axe moteur :

$$J_{eq} = J_M + J_C + J_R + \left( M \cdot r^2 + J_1 + J_2 + J_G \left( \frac{r}{r_G} \right)^2 \right) k^2$$

Q3 : On cherche l'équation du mouvement par application du TEC à l'ensemble en mouvement

#### Puissance extérieures :

On commence par la pesanteur  $(\vec{g} = g\vec{z_0})$ 

$$P_{pes \to solide \ i \ /0} = \begin{cases} \overline{R_{pes \to solide \ i}} = m_i g \overline{z_0} \\ \overline{M_{G_i, pes \to solide \ i}} = \overline{0} \end{cases} \otimes \begin{cases} \overline{\Omega_{solide \ i \ /0}} \\ \overline{V_{(G_i \in solide \ i \ /0)}} = \overline{0} \end{cases}_{G_i} = 0 \text{ sur Chacun des solides tournant}$$

$$(i = M, 1, 2, G). \text{ Le calcul n'est pas à faire d'autant qu'on ne donne pas les masses des solides.}$$

$$P_{pes \to cartouches / 0} = \begin{cases} \overrightarrow{R_{pes \to C}} = Mg\overrightarrow{z_0} \\ \overrightarrow{M_{G,pes \to C}} = \overrightarrow{0} \end{cases}_G \otimes \begin{cases} \overrightarrow{\Omega_{C/0}} \\ \overrightarrow{V_{(G \in C/0)}} = V_{(M/0)}\overrightarrow{x_0} \end{cases}_G = 0$$
 Les actions de pesanteur ne travaillent pas  $(\overrightarrow{g} \perp \text{plan d'évolution du mécanisme})$ . G, cdg des cartouches.

Puis la puissance fournie :

$$P_{stator\ moteur \rightarrow rotor\ moteur\ /0} = \left\{ \overrightarrow{R_{sm \rightarrow rm}} = \overrightarrow{0} \atop \overrightarrow{M_{C,sm \rightarrow rm}} = C_M \overrightarrow{z_0} \right\}_{C,pt\ de\ l'axe} \otimes \left\{ \overrightarrow{\Omega_{sm \rightarrow rm/0}} = \dot{\theta}_M \overrightarrow{z_0} \atop \overrightarrow{V_{(C \in sm \rightarrow rm\ /0)}} = \overrightarrow{0} \right\}_{C,pt\ de\ l'axe} = C_M \dot{\theta}_M$$

Enfin les actions aux liaisons (attention du frottement partout...):

Pivots avec le bâti : couple de frottement visqueux (proportionnel à la vitesse angulaire) autour de l'axe de la liaison avec  $b_i$  (en Nms/rad) le coeff de frottement visqueux  $\Rightarrow \overline{couple\ de\ frottement} = -b_i\dot{\theta}_i\overline{z_0}$ 

Lycée Claude Fauriel Page 11 sur 12

$$P_{0 \rightarrow solide \ j \ /0} = \left\{ \overrightarrow{R_{0 \rightarrow j}} = X_{0j} \, \overrightarrow{x_0} + Y_{0j} \overrightarrow{y_0} + Z_{0j} \overrightarrow{z_0} \right\}_{C_j, pt \ de \ l'axe} \\ \otimes \left\{ \overrightarrow{\Omega_{j \ /0}} = \dot{\theta}_j \overrightarrow{z_0} \right\}_{C_j, pt \ de \ l'axe} \\ = -b_j. \, \dot{\theta}_j^{\ 2}$$

Glissière avec le bâti : force de frottement sec (Coulomb) suivant l'axe de la liaison avec f le coefficient de frottement : TRD aux cartouches/ $\overrightarrow{z_0}$  :  $\overrightarrow{R_{0 \to C}}$ .  $\overrightarrow{z_0} + Mg = 0 \Rightarrow Y_{0C} = -Mg \Rightarrow X_{0C} = f$ .  $Y_{0C} = -f$ . Mg Remarque : les actions de la courroie sur les cartouches sont horizontales donc n'interviennent pas dans le  $TRD/\overrightarrow{z_0}$ 

$$P_{0 \rightarrow \textit{Cartouches} \ /0} = \left\{ \begin{matrix} \overrightarrow{\mathbf{R}_{0 \rightarrow \textit{C}}} = X_{0\textit{C}} \, \overrightarrow{x_0} + Y_{0\textit{C}} \overrightarrow{y_0} + Z_{0\textit{C}} \overrightarrow{z_0} \\ \overrightarrow{M_{\textit{G},0 \rightarrow \textit{C}}} = L_{0\textit{C}} \, \overrightarrow{x_0} + M_{0\textit{C}} \overrightarrow{y_0} + N_{0\textit{C}} \overrightarrow{z_0} \right\}_{\textit{G}} \\ \otimes \left\{ \begin{matrix} \overrightarrow{\Omega_{\textit{C}/0}} = \overrightarrow{0} \\ \overrightarrow{V_{(\textit{G} \in \textit{C}/0)}} = V_{(\textit{M}/0)} \overrightarrow{x_0} \end{matrix} \right\}_{\textit{G}} \\ = -f. \, \textit{Mg.} \, V_{(\textit{M}/0)} (\overrightarrow{N_{\text{C}/0}}) = V_{(\textit{M}/0)} (\overrightarrow{N_{\text{C}/0}}$$

#### Puissance intérieures :

- Les contacts courroie/poulies se font sans glissement donc puissances perdues nulles.
- Les frottements sont globalisés au niveau du réducteur : rendement  $\eta_R$

$$\eta_{R} = \frac{\textit{Puissance en sortie de réducteur}}{\textit{Puissance en entrée de reducteur}} = \frac{\textit{Puissance motrice réellement fournie}}{\textit{C}_{\textit{M}} \dot{\theta}_{\textit{M}}}$$

D'où : Puissance motrice réellement fournie =  $\eta_{_R}C_M\dot{\theta}_M$ 

La perte de puissance autrement dit la puissance intérieure vaut  $P_{int} = -(1 - \eta_R) C_M \dot{\theta}_M$ 

Pour retrouver ces résultats il faut utiliser une application numérique. Si  $\eta_R = 0.9$  cela veut dire que la puissance réellement motrice fournie au système vaut 90% de la puissance théorique fournie par le moteur  $(C_M \dot{\theta}_M)$  à cause des frottements internes au réducteur. La perte de puissance au niveau du réducteur donc la puissance intérieure est donc de 10% de la puissance théorique moteur. Cette puissance intérieure est négative puisqu'elle est perdue.

Application du TEC: 
$$\frac{d}{dt}Ec_{(\Sigma/0)} = P_{ext \to \Sigma/0} + P_{int}$$

$$\text{D'où}: \ J_{eq}. \dot{\theta}_{M}. \ddot{\theta}_{M} = C_{M} \dot{\theta}_{M} - b_{M}. \dot{\theta}_{M}^{\ 2} - b_{1}. \dot{\theta}_{1}^{\ 2} - b_{2}. \dot{\theta}_{2}^{\ 2} - b_{G}. \dot{\theta}_{G}^{\ 2} - f. Mg. V_{(M/0)} - (1 - \eta_{R}) \ C_{M} \dot{\theta}_{M}$$

Ce qui donne : 
$$J_{eq}$$
.  $\dot{\theta}_{M}$ .  $\ddot{\theta}_{M} = \eta_{R}C_{M}\dot{\theta}_{M} - b_{M}$ .  $\dot{\theta}_{M}^{2} - b_{1}$ .  $(k.\dot{\theta}_{M})^{2} - b_{2}$ .  $(k.\dot{\theta}_{M})^{2} - b_{G}$ .  $(\frac{r.k}{r_{G}}.\dot{\theta}_{M})^{2} - f$ .  $Mg.r.k.\dot{\theta}_{M}$ 

On simplifie par 
$$\dot{\theta}_M$$
:  $J_{eq}\ddot{\theta}_M = \eta_R C_M - \left(b_M \cdot + (b_1 + b_2)k^2 + b_G \cdot \left(\frac{r \cdot k}{r_G}\right)^2\right) \dot{\theta}_M - f \cdot Mg \cdot r \cdot k$ 

Lycée Claude Fauriel Page 12 sur 12